

Laplace

$$\mathcal{L}[f(t)] = F(s) \triangleq \int_{0-}^{\infty} f(t)e^{-st}dt$$

Teoremas de Laplace

Convolução

$$F_1(s) \cdot F_2(s) = \mathcal{L}[f_1(t) * f_2(t)]$$
$$f_1(t) * f_2(t) = \int_0^t f_1(t-\tau) * f_2(\tau) d\tau$$

Teorema do valor final

$$\lim_{t \rightarrow \infty} f(t) = \lim_{s \rightarrow 0} sF(s)$$

Valído se existir transformada de f(t) e de sua derivada também; se existir limite no infinito de f(t); sF(s) não tiver polos no semiplano direito (S.P.D.).

Teorema do valor inicial

$$\lim_{s \rightarrow \infty} sF(s) = f(0^+)$$

Valído se existir transformada de f(t) e de sua derivada também; se existir limite no infinito de f(t);

Propriedades de Laplace

Diferenciação

$$\mathcal{L}[\dot{f}(t)] = sF(s) - f(0_-)$$
$$\mathcal{L}[\ddot{f}(t)] = s^2F(s) - sf(0_-) - \dot{f}(0_-)$$

Integração

$$\mathcal{L}\left[\int_{-\infty}^t f(\tau) d\tau\right] = \frac{F(s)}{s} + \frac{\int_{-\infty}^0 f(\tau) d\tau}{s} - \frac{d}{ds}F(s) = \mathcal{L}[tf(t)]$$

Multiplicação por tempo

Linearidade

$$\mathcal{L}[c_1f_1(t) + c_2f_2(t)] = c_1F_1(s) + c_2F_2(s)$$

Translação na frequência

$$\mathcal{L}[e^{-at}f(t)] = F(s+a)$$

Mudança de Escala de tempo

$$\mathcal{L}[f(\omega t)] = \frac{1}{\omega}F(s/\omega)$$

Translação no tempo

$$\mathcal{L}[f(t-a)] = e^{-as}F(s)$$

Transformada inversa de Laplace

Polos simples

$$\frac{B(s)}{A(s)}(s+p_i) \Big|_{s \rightarrow -p_i} = \left[ \frac{\alpha_1}{s+p_1} + \dots + \frac{\alpha_i}{s+p_i} + \dots + \frac{\alpha_n}{s+p_n} \right] F(s) = \frac{B(s)}{A(s)} = \frac{k(s+z_1) \dots (s+z_m)}{(s+p_1)^r (s+p_2) \dots (s+p_n)} =$$
$$\frac{\alpha_{1r}}{(s+p_1)^r} + \frac{\alpha_{1r-1}}{(s+p_1)^{r-1}} + \dots + \frac{\alpha_{11}}{(s+p_1)} + \frac{\alpha_2}{s+p_2} + \dots + \frac{\alpha_n}{s+p_n}$$
$$\alpha_i = \frac{B(s)}{A(s)}(s+p_i) \Big|_{s \rightarrow -p_i}$$

Polos múltiplos

$$\mathcal{L}^{-1}[F(s)] = f(t)$$

Tabela de transformadas de Laplace usuais

Funções							
$f(t)$	$\delta(t)$	$1(t)$	$t \cdot 1(t)$	$e^{-at}$	$\text{sen}(\omega t)$	$\text{cos}(\omega t)$	$e^{-at} \cdot \text{cos}(\omega t)$
$F(s)$	1	$\frac{1}{s}$	$\frac{1}{s^2}$	$\frac{1}{s+a}$	$\frac{\omega}{s^2+\omega^2}$	$\frac{s}{s^2+\omega^2}$	$\frac{s+a}{(s+a)^2+\omega^2}$
	Impulso unitário	Degrau unitário					

Funções de transferência

$$x(t) \rightarrow \text{S.L.I.T.} \rightarrow y(t)$$
$$G(s) = \frac{Y(s)}{X(s)} = \frac{b_0 \cdot s^m + b_1 \cdot s^{m-1} + \dots + b_{m-1} \cdot s + b_m}{a_0 \cdot s^n + a_1 \cdot s^{n-1} + \dots + a_{n-1} \cdot s + a_n}$$
$$G(s) = \frac{\Delta Y(s)}{X(s)} \Big|_{C.I.Q.}$$

Raízes da equação característica (X(s)) são polos de G(s) e raízes de Y(s) são zeros de G(s)

Diagrama de blocos

Detector de erro/Comparador

$$X(s) \rightarrow G(s) \rightarrow Y(s)$$
$$Y(s) = G(s) \cdot X(s)$$

Somador

$$R(s) + E(s) \rightarrow Z(s)$$
$$Z(s) = X(s) + Y(s)$$
$$E(s) = R(s) - C(s)$$

Diagrama de blocos

$$R(s) + E(s) \rightarrow G(s) \rightarrow C(s)$$
$$C(s) \rightarrow H(s) \rightarrow B(s)$$
$$B(s) \rightarrow \text{Somador} \rightarrow E(s)$$
$$\frac{C(s)}{R(s)} = \frac{G(s)}{1 + G(s) \cdot H(s)}$$
$$\frac{C(s)}{R(s)} = \frac{G(s)}{1 + G(s)}$$

Redução de diagrama de blocos

1) 
$$\begin{matrix} X & + & X-Y & + & X-Y+Z \\ & \uparrow & & \uparrow & \\ & Y & & Z & \end{matrix} \equiv \begin{matrix} X & + & X+Z & + & X+Z-Y \\ & \uparrow & & \uparrow & \\ & Z & & Y & \end{matrix}$$

2) 
$$X \rightarrow G_1(s) \rightarrow G_1X \rightarrow G_2(s) \rightarrow G_2G_1X \equiv X \rightarrow G_2(s) \rightarrow G_2X \rightarrow G_1(s) \rightarrow G_1G_2X$$

3) 
$$X \rightarrow G_1(s) \rightarrow G_1X \rightarrow G_2(s) \rightarrow G_2G_1X \equiv X \rightarrow G_2(s)G_1(s) \rightarrow G_2G_1X$$

4) 
$$\begin{matrix} X & \rightarrow & G_1(s) & \rightarrow & G_1X & \rightarrow & \text{Somador} & \rightarrow & (G_1+G_2)X \\ & & & & & & \uparrow & & \\ & & & & & & G_2X & & \end{matrix} \equiv \begin{matrix} X & \rightarrow & G_1(s) \pm G_2(s) & \rightarrow & (G_1 \pm G_2)X \end{matrix}$$

9) 
$$\begin{matrix} X & \rightarrow & G_1(s) & \rightarrow & G_1X & \rightarrow & \text{Somador} & \rightarrow & G_1X + G_2X \\ & & & & & & \uparrow & & \\ & & & & & & G_2X & & \end{matrix} \equiv \begin{matrix} X & \rightarrow & G_1(s) & \rightarrow & G_1X & \rightarrow & \text{Somador} & \rightarrow & G_1X + G_2X \\ & & & & & & \uparrow & & \\ & & & & & & G_2X & & \end{matrix}$$

10) 
$$\begin{matrix} X & \rightarrow & \text{Somador} & \rightarrow & G_1(s) & \rightarrow & G_1X \\ & & \uparrow & & & & \\ & & G_2(s) & & & & \end{matrix} \equiv \begin{matrix} X & \rightarrow & G_2(s) & \rightarrow & G_2X & \rightarrow & \text{Somador} & \rightarrow & G_1X \\ & & & & & & \uparrow & & \\ & & & & & & G_2X & & \end{matrix}$$

5) 
$$\begin{matrix} X & \rightarrow & G(s) & \rightarrow & GX & \rightarrow & \text{Somador} & \rightarrow & GX+Y \\ & & & & & & \uparrow & & \\ & & & & & & Y & & \end{matrix} \equiv \begin{matrix} X & \rightarrow & \text{Somador} & \rightarrow & GX+Y & \rightarrow & G(s) & \rightarrow & GX+Y \\ & & \uparrow & & & & & & \\ & & Y & & & & & & \end{matrix}$$

6) 
$$\begin{matrix} X & \rightarrow & G(s) & \rightarrow & GX & \rightarrow & \text{Somador} & \rightarrow & GX+Y \\ & & & & & & \uparrow & & \\ & & & & & & Y & & \end{matrix} \equiv \begin{matrix} X & \rightarrow & G(s) & \rightarrow & GX & \rightarrow & \text{Somador} & \rightarrow & GX+Y \\ & & & & & & \uparrow & & \\ & & & & & & Y & & \end{matrix}$$

7) 
$$\begin{matrix} X & \rightarrow & G(s) & \rightarrow & GX & \rightarrow & \text{Somador} & \rightarrow & GX+Y \\ & & & & & & \uparrow & & \\ & & & & & & Y & & \end{matrix} \equiv \begin{matrix} X & \rightarrow & G(s) & \rightarrow & GX & \rightarrow & \text{Somador} & \rightarrow & GX+Y \\ & & & & & & \uparrow & & \\ & & & & & & Y & & \end{matrix}$$

8) 
$$\begin{matrix} X & \rightarrow & G(s) & \rightarrow & GX & \rightarrow & \text{Somador} & \rightarrow & GX+Y \\ & & & & & & \uparrow & & \\ & & & & & & Y & & \end{matrix} \equiv \begin{matrix} X & \rightarrow & G(s) & \rightarrow & GX & \rightarrow & \text{Somador} & \rightarrow & GX+Y \\ & & & & & & \uparrow & & \\ & & & & & & Y & & \end{matrix}$$

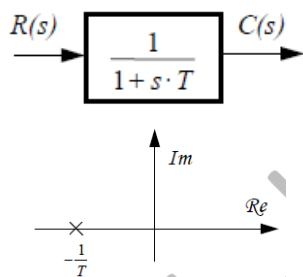
11) 
$$\begin{matrix} X & \rightarrow & G(s) & \rightarrow & GX & \rightarrow & \text{Somador} & \rightarrow & GX+Y \\ & & & & & & \uparrow & & \\ & & & & & & Y & & \end{matrix} \equiv \begin{matrix} X & \rightarrow & G(s) & \rightarrow & GX & \rightarrow & \text{Somador} & \rightarrow & GX+Y \\ & & & & & & \uparrow & & \\ & & & & & & Y & & \end{matrix}$$

Efeitos da realimentação

CASO	REGIME	MALHA ABERTA	MALHA FECHADA
Modelo Exato	Estacionário	$e(\infty) = 0$	$\left  \frac{e(\infty)}{A} \right  = \frac{1}{1+KK_0}$
Incerteza em $K_0$	Estacionário	$\left  \frac{e(\infty)}{A} \right  = \left  \frac{\Delta K_0}{K_0} \right $	$\left  \frac{e(\infty)}{A} \right  = \frac{1}{1+KK_0 \left( 1 + \frac{\Delta K_0}{K_0} \right)}$
Perturbação de Torque	Estacionário	$\left  \frac{e(\infty)}{A} \right  = \left  \frac{K_0 K_1 T}{A} \right $	$\left  \frac{e(\infty)}{A} \right  \leq \frac{1}{KK_0} \left( 1 + \left  \frac{K_0 K_1 T}{A} \right  \right)$
	Transitório	$\tau$	$\tau' = \frac{\tau}{1+KK_0}$

No modelo exato, os resultados dizem que em um caso ideal (sem perturbações externa e com modelagem completamente perfeita – situação irreal), o controle poderia ser feito em malha aberta (por conta do erro nulo). Com incerteza em  $K_0$ , o erro estacionário em malha fechada é menos sensível a variações em  $K_0$  do que em malha aberta. Com perturbação na carga, o erro também é menos sensível em malha fechada do que em malha aberta. Na resposta transitória, a resposta do sistema é mais rápida em malha fechada.

## Sistemas de 1ª ordem



Condições iniciais nulas

$$\frac{C(s)}{R(s)} = \frac{1}{1+sT} = \frac{\frac{1}{T}}{s + \frac{1}{T}}$$

Resposta ao degrau (condições iniciais nulas)

$$r(t) = 1(t) \Rightarrow R(s) = \frac{1}{s} \Rightarrow C(s) = \frac{1}{s} - \frac{T}{1+sT}$$

$$c(t) = 1 - e^{-\frac{t}{T}}$$

Degrâu com amplitude 1

$$t = T \Rightarrow c(T) = 1 - e^{-1} = 0.632$$

$$t = 0 \Rightarrow \dot{c}(0) = \frac{1}{T}$$

$$\lim_{t \rightarrow \infty} c(t) = c(\infty) = 1$$

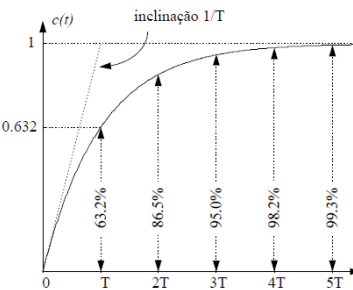
$$c(t) = A \left( 1 - e^{-\frac{t}{T}} \right)$$

Degrâu com amplitude A

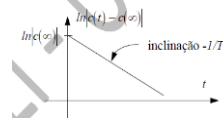
$$c(T) = A \cdot (1 - e^{-1}) \approx 0.632A$$

$$\dot{c}(0) = \frac{A}{T}$$

$$c(\infty) = A$$



$$\ln|c(t) - c(\infty)| = \ln|c(\infty)| - \frac{t}{T} \quad (t \geq 0)$$



Para descobrir se o Sistema é de 1ª ordem, Traçar o gráfico em escala logarítmica e verificar se é uma reta.

### Resposta à rampa

$$r(t) = t \cdot 1(t) \Rightarrow R(s) = \frac{1}{s^2} \Rightarrow C(s) = \frac{1}{s^2} - \frac{T}{s} + \frac{T}{1+sT}$$

$$c(t) = t - T + T \cdot e^{-\frac{t}{T}}$$

Resposta

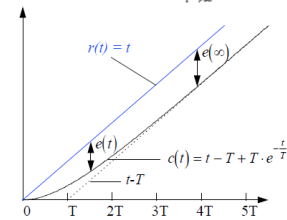
$$c(t) \approx t - T \quad (t \gg T)$$

Resposta para t muito grande

$$e(t) = t - [t - T + T \cdot e^{-\frac{t}{T}}] = T \cdot (1 - e^{-\frac{t}{T}})$$

Existência de um erro estacionário

$$e(t) \approx T \quad (t \gg T) \quad \lim_{t \rightarrow \infty} e(t) = e(\infty) = T$$

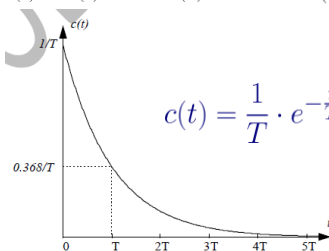


Quanto menor T, mais rápido o transitório a que está sujeita a saída c(t) e menor o erro estacionário e(infty).

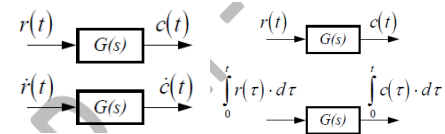
### Resposta ao impulso

$$r(t) = \delta(t) \Rightarrow R(s) = 1 \Rightarrow C(s) = \frac{1}{1+sT} = \frac{\frac{1}{T}}{s + \frac{1}{T}}$$

$$c(t) = \frac{1}{T} \cdot e^{-\frac{t}{T}}$$



### Propriedade



Quando aplica-se a derivada de um sinal do sistema, o resultado é a derivada da saída original. O mesmo ocorre com a integral.

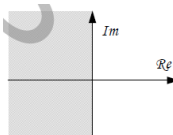
## Sistemas de 2ª ordem

### Resposta ao degrau unitário

$$\frac{C(s)}{R(s)} = \frac{\omega_n^2}{s^2 + 2\zeta\omega_n \cdot s + \omega_n^2} \quad (\omega_n > 0)$$

$$s^2 + 2\zeta\omega_n \cdot s + \omega_n^2 = 0 \quad \text{As raízes são os polos} \quad s_{1,2} = \frac{-2\zeta\omega_n \pm \sqrt{4\zeta^2\omega_n^2 - 4\omega_n^2}}{2} = \omega_n \cdot (-\zeta \pm \sqrt{\zeta^2 - 1})$$

Requisito para estabilidade: os polos devem estar no semi-plano esquerdo (S.P.E.)



$0 < \zeta < 1 \Rightarrow s_1, s_2$  são complexos conjugados (subamortecimento)

$\zeta = 1 \Rightarrow s_1 = s_2$  são reais (amortecimento crítico)

$\zeta > 1 \Rightarrow s_1 \neq s_2$  são reais (superamortecimento ou sobreamortecimento)

### 1º caso: $0 < \zeta < 1$ - Subamortecimento

$$s_{1,2} = -\zeta\omega_n \pm j \cdot \omega_n \sqrt{1 - \zeta^2} = -\sigma \pm j \cdot \omega_d$$

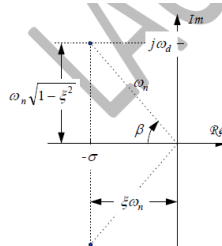
$$\zeta = \cos(\beta) \quad e \quad \sqrt{1 - \zeta^2} = \sin(\beta)$$

Nomenclatura:

$\omega_n$  = frequência natural não amortecida

$\omega_d$  = frequência natural amortecida

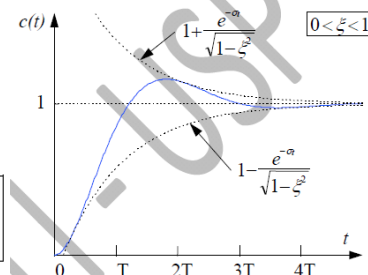
$\zeta$  = coeficiente de amortecimento



Aplicando o degrâu unitário:

$$C(s) = \frac{\omega_n^2}{s \cdot (s + \sigma + j\omega_d) \cdot (s + \sigma - j\omega_d)}$$

$$c(t) = 1 - \frac{1}{\sqrt{1 - \zeta^2}} \cdot e^{-\sigma t} \cdot \sin(\omega_d t + \beta) \quad (t \geq 0)$$



### 2º caso: $\zeta = 1$ - Amortecimento crítico

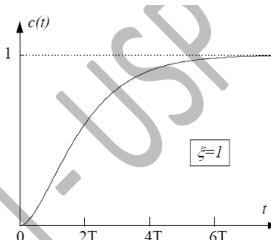
Dois polos reais Negativos, iguais

$$s_1 = s_2 = -\omega_n < 0$$

Aplicando o degrâu unitário:

$$C(s) = \frac{\omega_n^2}{s \cdot (s + \omega_n)^2}$$

$$c(t) = 1 - (1 + \omega_n t) \cdot e^{-\omega_n t} \quad (t \geq 0)$$



### 3º caso: $\zeta > 1$ - Superamortecimento

Dois polos reais Negativos, distintos

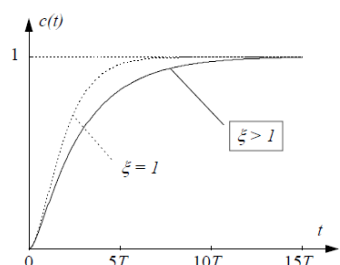
$$s_1 = \omega_n \cdot (-\zeta - \sqrt{\zeta^2 - 1}) < 0$$

$$s_2 = \omega_n \cdot (-\zeta + \sqrt{\zeta^2 - 1}) < 0$$

Aplicando o degrâu unitário:

$$C(s) = \frac{\omega_n^2}{s \cdot (s - s_1) \cdot (s - s_2)}$$

$$c(t) = 1 + \frac{\omega_n}{2\sqrt{\zeta^2 - 1}} \cdot \left( \frac{e^{s_2 t}}{s_2} - \frac{e^{s_1 t}}{s_1} \right) \quad (t \geq 0)$$



Especificações da Resposta Transitória (s) (subamortecimento)

a) **Tempo de Subida** ( $t_r$ ):

$$t_r = \frac{\pi - \beta}{\omega_d}$$
$$c(t_r) = 1$$

b) **Instante de Pico** ( $t_p$ ):

$$\dot{c}(t_p) = 0$$
$$t_p = \frac{\pi}{\omega_d}$$

c) **Sobressinal máximo** ( $M_p$ ):

$$M_p = c(t_p) - 1$$
$$M_p = e^{-\pi \frac{\zeta}{\sqrt{1-\zeta^2}}}$$
$$M_p = \frac{c(t_p) - c(\infty)}{c(\infty)}$$

d) **Tempo de acomodação** ( $t_s$ ):

$$T = \frac{1}{\sigma}$$
$$t_s(5\%) \cong 3T = \frac{3}{\sigma} = \frac{3}{\zeta \omega_n} \quad (0 < \zeta < 0.9)$$
$$t_s(2\%) \cong 4T = \frac{4}{\sigma} = \frac{4}{\zeta \omega_n} \quad (0 < \zeta < 0.9)$$

**Estabilidade** Para a estabilidade dos S.L.I.T., todos os seus polos devem ter parte real negativa (isto é, se situem no S.P.E.).

**Critério de Routh** (determinar o número de polos de um sistema situados no S.P.D.)

$$\frac{C(s)}{R(s)} = \frac{b_0 s^m + b_1 s^{m-1} + \dots + b_{m-1} s + b_m}{a_0 s^n + a_1 s^{n-1} + \dots + a_{n-1} s + a_n} = \frac{B(s)}{A(s)}$$

Procedimento

a) escreva  $A(s)$  na forma  $A(s) = a_0 s^n + a_1 s^{n-1} + \dots + a_{n-1} s + a_n$ . Admite-se que  $a_n \neq 0$ , isto é, que eventuais raízes nulas de  $A(s)$  já tenham sido removidas.

b) arranje, então, os coeficientes do polinômio numa tabela da seguinte forma:

$s^n$	$a_0$	$a_2$	$a_4$	$a_6$	...	0
$s^{n-1}$	$a_1$	$a_3$	$a_5$	$a_7$	...	0
$s^{n-2}$	$b_1$	$b_2$	$b_3$	$b_4$	...	
$s^{n-3}$	$c_1$	$c_2$	$c_3$	$c_4$	...	
$\vdots$	$\vdots$					
$s^1$	$f_1$					
$s^0$	$g_1$					

$$b_1 = \frac{a_1 a_2 - a_0 a_3}{a_1}$$
$$b_2 = \frac{a_1 a_4 - a_0 a_5}{a_1}$$
$$b_3 = \frac{a_1 a_6 - a_0 a_7}{a_1}$$
$$c_1 = \frac{b_1 a_2 - a_1 b_2}{b_1}$$
$$c_2 = \frac{b_1 a_3 - a_1 b_3}{b_1}$$
$$c_3 = \frac{b_1 a_4 - a_1 b_4}{b_1}$$

O número de raízes de  $A(s)$  com parte real positiva é igual ao número de mudanças de sinal dos elementos da primeira coluna da tabela.

**Teste de Hurwitz** (verificar se um polinômio não é estável)

Basta analisar se alguma das opções abaixo é verdadeira.

- a) nem todos os coeficientes de  $A(s)$  estão presentes (isto é, pelo menos um dos coeficientes é nulo);
- b) nem todos os coeficientes de  $A(s)$  têm o mesmo sinal, (isto é, há pelo menos dois coeficientes com sinais opostos).

OBS: esse teste apenas verifica se o sistema é instável, não sendo possível afirmar que ele é estável caso os critérios sejam obedecidos

**Resumo - Importante!**

Note que o Critério de Hurwitz não permite concluir que um sistema é estável. Por outro lado, o Critério de Routh é uma condição necessária e suficiente de estabilidade. Em outras palavras, dele sempre se pode concluir se o sistema é estável ou instável.

Erro estacionário

De acordo com o tipo do sistema e com o tipo da entrada (degrau unitário, rampa unitária, parábola unitária) é possível concluir sobre o erro de acordo com a tabela a seguir:

	$r(t) \quad (t \geq 0)$		
Tipo do Sistema	1	$t$	$t^2/2$
0	$\frac{1}{1+K_0}$	$\infty$	$\infty$
1	0	$\frac{1}{K_0}$	$\infty$
2	0	0	$\frac{1}{K_0}$

Rejeição de perturbações em regime estacionário

$$c(\infty) = \lim_{s \rightarrow 0} s \frac{G(s)}{1 + G(s)K(s)} N(s) = \lim_{s \rightarrow 0} s \frac{s^{N_K} G'(s)}{s^{N_G} s^{N_K} + G'(s)K'(s)} N(s)$$

**Perturbação do tipo degrau unitário**

$$N(s) = \frac{1}{s}$$
$$c(\infty) = \lim_{s \rightarrow 0} \frac{s^{N_K} G'(s)}{s^{N_G} s^{N_K} + G'(s)K'(s)}$$

**Perturbação do tipo rampa unitária**

$$N(s) = \frac{1}{s^2}$$
$$c(\infty) = \lim_{s \rightarrow 0} \frac{s^{N_K} G'(s)}{s^{N_G} s^{N_K} + G'(s)K'(s)}$$

**Resumo:**

Para que um sistema de controle sujeito a uma perturbação do tipo degrau na entrada da planta a rejeite completamente em regime estacionário é preciso que o controlador tenha pelo menos um polo na origem.

Quando se deseja que o sistema de controle rejeite completamente em regime estacionário perturbações do tipo rampa é necessário que o compensador tenha pelo menos dois polos na origem.

Lugar geométrico das raízes (L.G.R.) Conjunto dos pontos no plano complexo que correspondem aos polos do sistema em malha fechada.

Condição de fase

$$G(s) \cdot H(s) = 180^\circ \pm i \cdot 360^\circ$$
$$\angle (s - z_1 + s - z_2 + \dots + s - z_m - s - p_1 - s - p_2 - \dots - s - p_n) = 180^\circ \pm i \cdot 360^\circ$$

(i = 0, 1, 2, ...)

$$\frac{C(s)}{R(s)} = \frac{G(s)}{1 + G(s) \cdot H(s)}$$
$$G(s) \cdot H(s) = -1 + j \cdot 0$$

Condição de módulo (ganho)

$$|G(s) \cdot H(s)| = 1$$
$$|G(s) \cdot H(s)| = k \cdot \frac{|s - z_1| \cdot |s - z_2| \cdot \dots \cdot |s - z_m|}{|s - p_1| \cdot |s - p_2| \cdot \dots \cdot |s - p_n|} = 1$$
$$k = \frac{|s - p_1| \cdot |s - p_2| \cdot \dots \cdot |s - p_n|}{|s - z_1| \cdot |s - z_2| \cdot \dots \cdot |s - z_m|}$$

Regras para o traçado do L.G.R.

- Continuidade do L.G.R.  
L.G.R. possui curvas contínuas
- Número de ramo do L.G.R.  
Os polos da malha fechada descrevem n curvas no L.G.R..
- Simetria do L.G.R.  
L.G.R. é simétrico em relação ao eixo real

1º passo: Pontos de Início de Término do L.G.R. Deve-se marcar os polos (x) e zeros (o) da malha aberta no plano complexo

$0 < k < +\infty$ 

Pontos de início: K -> 0+

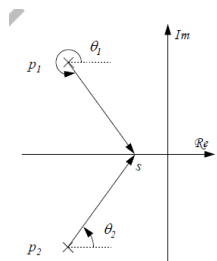
Pontos de término: k -> infity

Atenção: Achar a equação característica de malha fechada primeiro para depois achar os polos e os zeros

2º passo: L.G.R sobre o eixo real Determinar quais pontos do eixo real que pertencem ao L.G.R

Para que o ponto s do eixo real pertença ao L.G.R., o número total de polos e zeros reais de malha aberta à direita de s deve ser ímpar.

- +φ<sub>i</sub> = +180° para cada zero real de malha aberta z<sub>i</sub> à direita de s;
- θ<sub>i</sub> = -180° para cada polo real de malha aberta p<sub>i</sub> à direita de s;
- φ<sub>i</sub> = θ<sub>i</sub> = 0° para cada zero real z<sub>i</sub> ou polo real p<sub>i</sub> de malha aberta à esquerda de s;



3º passo: Assintotas Número de assintotas com k->infity é igual ao excesso de polos sobre zeros para n>m (número de polos menos o número de zeros)

$$\phi_i \cong \theta_j \cong \alpha \quad (1 \leq i \leq m, 1 \leq j \leq n)$$
$$\alpha = \frac{180^\circ}{n - m} \pm \frac{i}{n - m} \cdot 360^\circ \quad (i = 0, 1, 2, \dots) \quad \alpha_i \quad (0 \leq i \leq n - m - 1)$$

Ângulo da assintota com o eixo real

$$s_0 = \frac{\sum_{i=1}^n p_i - \sum_{i=1}^m z_i}{n - m}$$

Ponto de cruzamento das assintotas com o eixo real

4º passo: Pontos de partida e de chegada sobre o eixo real Zeros atraem o L.G.R. e polos repelem-no

Se houver dois polos de malha aberta adjacentes sobre o eixo real e se o segmento entre eles for parte do L.G.R., então existirá pelo menos um ponto de partida nesse segmento. De maneira análoga, dois zeros adjacentes no eixo indica pelo menos um ponto de chegada. Se o segmento entre um polo e um zero reais pertencer ao L.G.R., então o número de pontos de partida sobre o segmento igualará o número de chegadas, incluindo-se aí o caso em que tal número é nulo.

$$k = -\frac{A(s)}{B(s)} \quad \frac{dk}{ds} = 0 \quad \Rightarrow \quad \frac{dA(s)}{ds} \cdot B(s) - A(s) \cdot \frac{dB(s)}{ds} = 0$$

As raízes desta equação polinomial fornecem os possíveis candidatos a solução do problema.

5º passo: Ângulo de partida Determinar os ângulos de partidas de polos e ângulos de chegada a zeros

$$\phi_i = \angle (p_1 - z_i) \quad (i = 1, 2, \dots, m)$$
$$\theta_i = \angle (p_1 - p_i) \quad (i = 2, 3, \dots, n)$$
$$\theta_1 = \sum_{j=1}^m \phi_j - \sum_{j=2}^n \theta_j - 180^\circ \pm i \cdot 360^\circ \quad (i = 0, 1, 2, \dots)$$

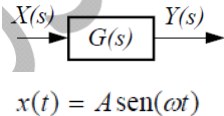
6º passo: Pontos de cruzamento com o eixo imaginário

Se utilizando o Critério de Routh, obtém-se os valores do ganho k correspondentes a cruzamentos do eixo imaginário, após isso substituem-se esses valores de k na equação característica, faz-se s = jw e obtém-se os valores de omega procurados após igualar a zero as partes real e imaginária;

7º passo: Esboço do L.G.R.

Resposta em frequência

Conceituação



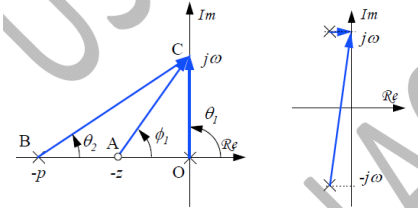
$$y_{\infty}(t) = A \cdot |G(j\omega)| \cdot \text{sen}(\omega t + \Phi(\omega))$$

- um S.L.I.T. estável, sujeito a uma entrada senoidal apresenta, em regime permanente, uma saída também senoidal e de mesma frequência que a entrada;
- a relação entre as amplitudes da saída e da entrada (ganho) é dada por  $|G(j\omega)|$ ;
- a diferença entre as fases da saída e da entrada (defasagem) é dada por  $\Phi(\omega) = \angle G(j\omega)$ ;

O ganho e a defasagem são a resposta em frequência; Para determinarmos, dado  $G(s)$  basta substituímos  $s=j\omega$  na expressão e obtermos o módulo e a fase da expressão resultante

Relação com a configuração de polos e zeros

$$G(s) = \frac{k \cdot (s + z)}{s \cdot (s + p)}$$
$$|G(j\omega)| = \frac{k \cdot |j\omega + z|}{|j\omega| \cdot |j\omega + p|} = \frac{k \cdot AC}{OC \cdot BC}$$
$$\angle G(j\omega) = \phi_1 - \theta_1 - \theta_2$$



Polos próximos ao eixo imaginário origina um pico no ganho (ressonância). Zeros próximos ao eixo imaginária denotam atenuação.

Gráficos de resposta em frequência

Diagramas de Bode

O ganho, frequentemente, é representado como  $20 \cdot \log_{10} |G(j\omega)|$ . Esta unidade é denominada decibel (dB).

$$G(s) = \frac{k \cdot (s + z_1) \cdot (s + z_2) \cdot \dots \cdot (s + z_m)}{s^N \cdot (s + p_1) \cdot (s + p_2) \cdot \dots \cdot (s + p_p)}$$

$$20 \cdot \log |G(j\omega)| = 20 \cdot \log |K_0| + \sum_{i=1}^m 20 \cdot \log |1 + j\omega \tau_i| - N \cdot 20 \cdot \log |j\omega| - \sum_{i=1}^p 20 \cdot \log |1 + j\omega T_i|$$
$$|G(j\omega)| = |K_0| + \sum_{i=1}^m \left| 1 + j\omega \tau_i \right| - N \cdot 90^\circ - \sum_{i=1}^p \left| 1 + j\omega T_i \right|$$

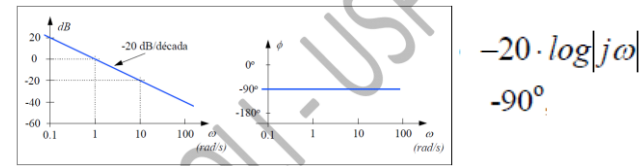
**Ganho  $K_0$**

A contribuição de  $K_0$  para o gráfico de Bode de ganho é uma reta horizontal correspondente a  $20 \cdot \log |K_0|$ .

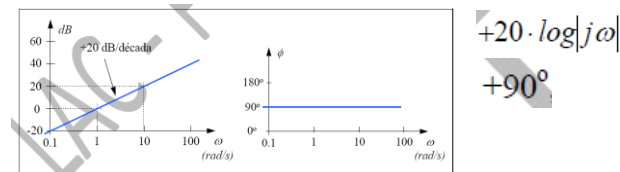
Em geral,  $K_0 > 0$  e, portanto, neste caso  $\angle K_0 = 0^\circ$ .

Dessa maneira, o efeito do ganho  $K_0$  sobre os Diagramas de Bode se resume em deslocar o gráfico de ganho e manter inalterado o de defasagem.

Termos associados a polos e zeros na origem



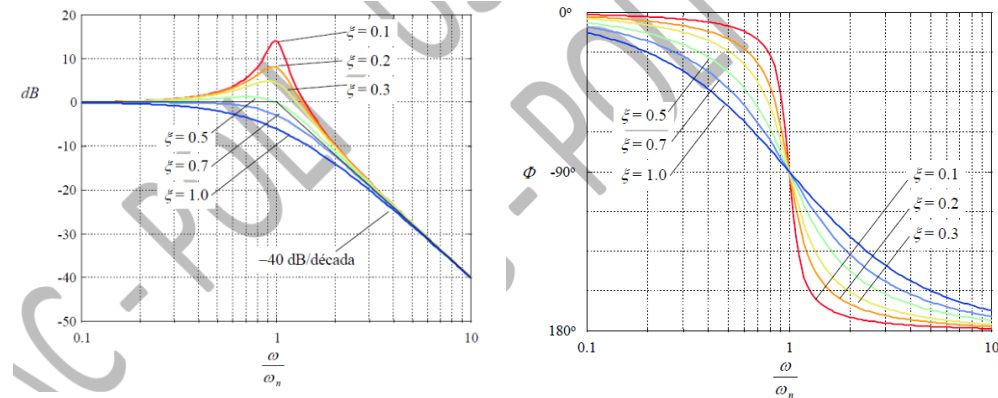
Polos



Zeros

Quando os polos (zeros) na origem têm multiplicidade  $N$ , o gráfico de ganho apresenta declividade  $-20N$  dB/década ( $+20N$  dB/década), enquanto o gráfico de defasagem se desloca para  $-N \cdot 90^\circ$  ( $+N \cdot 90^\circ$ ).

Termos associados a polos e zeros complexos conjugados



No entanto, obviamente o Diagrama de Bode de ganho depende de  $\xi$ . Se desenharmos os gráficos com exatidão, perceberemos que os mesmos apresentam um pico de ressonância nas vizinhanças de  $\omega = \omega_n$  e que a magnitude deste pico depende de  $\xi$ , sendo tanto maior quanto menor for  $\xi$  (veja a figura abaixo).

Para concluir este tópico, deve-se observar que, para fatores do tipo:

$$\frac{s^2 + 2\xi\omega_n \cdot s + \omega_n^2}{\omega_n^2}$$

(com  $0 < \xi < 1$ ), correspondentes a zeros complexos conjugados, as curvas de ganho e defasagem podem ser obtidas de imediato, invertendo o sinal daquelas associadas a polos complexos conjugados.

$$\omega_r = \omega_n \cdot \sqrt{1 - 2\xi^2} \quad \left( 0 \leq \xi \leq \frac{\sqrt{2}}{2} \right)$$

Frequência de ressonância

$$M_r = \frac{1}{2\xi\sqrt{1 - \xi^2}} \quad \left( \xi > \frac{\sqrt{2}}{2} \right)$$

Ganho de ressonância



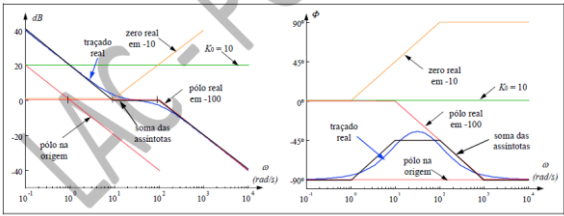
Procedimento para Construção dos Diagramas de Bode

- Escrever  $G(j\omega)$  na forma de um produto de fatores dos tipos apresentados anteriormente;
- Identificar as frequências de canto associadas a cada um dos fatores;
- Desenhar as aproximações assintóticas das curvas de ganho em  $dB$  para cada um dos fatores;
- Obter a soma das assintotas do passo anterior;
- Havendo fatores de segunda ordem, esboçar as curvas de ganho nas vizinhanças de  $\omega_i$ ;
- Desenhar as curvas de defasagem para cada um dos fatores;
- Obter a soma das curvas do passo anterior.

$$G(s) = \frac{k \cdot (s + z_1) \cdot (s + z_2) \cdot \dots \cdot (s + z_m)}{s^N \cdot (s + p_1) \cdot (s + p_2) \cdot \dots \cdot (s + p_n)}$$
$$G(s) = \frac{K_0 \cdot (\tau_1 s + 1) \cdot (\tau_2 s + 1) \cdot \dots \cdot (\tau_m s + 1)}{s^N \cdot (T_1 s + 1) \cdot (T_2 s + 1) \cdot \dots \cdot (T_p s + 1)} \quad \text{(Forma de constantes de tempo)}$$

Basicamente tem-se que pegar a função de transferência  $G(s)$ , botar em forma de constantes do tempo e analisar polos e zeros.

- $$G(j\omega) = \frac{10 \cdot (j \cdot 0.1\omega + 1)}{j\omega \cdot (j \cdot 0.01\omega + 1)}$$
- ganho  $K_0 = 10$ ;
  - um polo na origem;
  - um polo real em  $-100$ ;
  - um zero real em  $-10$ .



Determinação do Tipo do Sistema e do Ganho  $K_0$  com Base nos Diagramas de Bode

Declividade (dB/dec)	Tipo
0	0
-20	1
-40	2
⋮	⋮

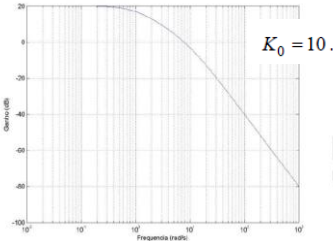
• Sistemas Tipo 0

- $$G(s) = K_0 \frac{(s\tau_1 + 1)(s\tau_2 + 1) \cdots (s\tau_m + 1)}{(sT_1 + 1)(sT_2 + 1) \cdots (sT_n + 1)}, \quad (K_0 > 0)$$
- i) o diagrama de Bode de  $\tilde{G}(j\omega)$  tende a uma reta horizontal para frequências suficientemente baixas e
  - ii) o valor do ganho em baixas frequências  $K_0$  pode ser obtido diretamente do gráfico em baixas frequências.

$$\omega \ll \frac{1}{\tau_i} \quad (1 \leq i \leq m)$$
$$\omega \ll \frac{1}{T_i} \quad (1 \leq i \leq n),$$

$$\tilde{G}(j\omega) = K_0,$$

$$20 \log_{10} |\tilde{G}(j\omega)| \cong 20 \log_{10} K_0.$$



• Sistemas Tipo 1

$$G(s) = K_0 \frac{(s\tau_1 + 1)(s\tau_2 + 1) \cdots (s\tau_m + 1)}{s(sT_1 + 1)(sT_2 + 1) \cdots (sT_n + 1)},$$
$$\omega \ll \frac{1}{\tau_i} \quad (1 \leq i \leq m)$$
$$\omega \ll \frac{1}{T_i} \quad (1 \leq i \leq n),$$

$$\tilde{G}(j\omega) \cong \frac{K_0}{j\omega},$$

$$20 \log_{10} |G(j\omega)| \cong 20 \log_{10} |\tilde{G}(j\omega)| = 20 \log_{10} \left| \frac{K_0}{\omega} \right| = 20 \log_{10} K_0 - 20 \log_{10} \omega,$$

- i) para frequências suficientemente baixas o diagrama de Bode de  $\tilde{G}(j\omega)$  tende a uma reta com declividade de  $-20\text{dB/dec}$  e
- ii) o valor do ganho em baixas frequências  $K_0$  pode ser obtido diretamente da reta que aproxima o gráfico em baixas frequências de duas maneiras:

ii.a) ou como consequência do fato de que para  $\omega = 1$ ,
$$\Rightarrow \log_{10} \omega = 0 \Rightarrow 20 \log_{10} |\tilde{G}(j1)| = 20 \log_{10} K_0 \Rightarrow |\tilde{G}(j1)| = K_0$$

ii.b) ou então considerando a frequência  $\bar{\omega}$  na qual  $20 \log_{10} |\tilde{G}(j\bar{\omega})| = 0\text{dB}$ 
$$\Rightarrow 20 \log_{10} |\tilde{G}(j\bar{\omega})| = 20 \log_{10} K_0 - 20 \log_{10} \bar{\omega} = 0, \Rightarrow K_0 = \bar{\omega}.$$

$K_0 = 0,1.$

• Sistemas Tipo 2

$$G(s) = K_0 \frac{(s\tau_1 + 1)(s\tau_2 + 1) \cdots (s\tau_m + 1)}{s^2(sT_1 + 1)(sT_2 + 1) \cdots (sT_n + 1)},$$
$$\omega \ll \frac{1}{\tau_i} \quad (1 \leq i \leq m)$$
$$\omega \ll \frac{1}{T_i} \quad (1 \leq i \leq n),$$

$$\tilde{G}(j\omega) \cong \frac{K_0}{(j\omega)^2},$$

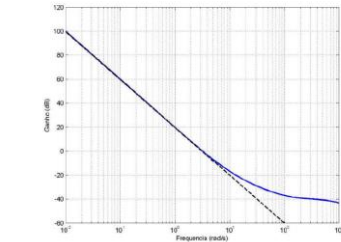
$$20 \log_{10} |G(j\omega)| \cong 20 \log_{10} |\tilde{G}(j\omega)| = 20 \log_{10} \left| \frac{K_0}{\omega^2} \right| = 20 \log_{10} K_0 - 40 \log_{10} \omega,$$

- i) para frequências suficientemente baixas o diagrama de Bode de  $\tilde{G}(j\omega)$  tende a uma reta com declividade de  $-40\text{dB/dec}$  e
- ii) o valor do ganho em baixas frequências  $K_0$  pode ser obtido diretamente da reta que aproxima o gráfico em baixas frequências de duas maneiras:

ii.a) ou como consequência do fato de que para  $\omega = 1$ ,
$$\Rightarrow \log_{10} \omega = 0 \Rightarrow 20 \log_{10} |\tilde{G}(j1)| = 20 \log_{10} K_0, \Rightarrow |\tilde{G}(j1)| = K_0;$$

ii.b) ou então considerando a frequência  $\bar{\omega}$  na qual  $20 \log_{10} |\tilde{G}(j\bar{\omega})| = 0\text{dB}$ 
$$\Rightarrow 20 \log_{10} |\tilde{G}(j\bar{\omega})| = 20 \log_{10} K_0 - 40 \log_{10} \bar{\omega} = 0, \Rightarrow K_0 = \bar{\omega}^2.$$

$K_0 = 10,$



Diagramas de Nyquist

Formas Gerais de Gráficos Polares

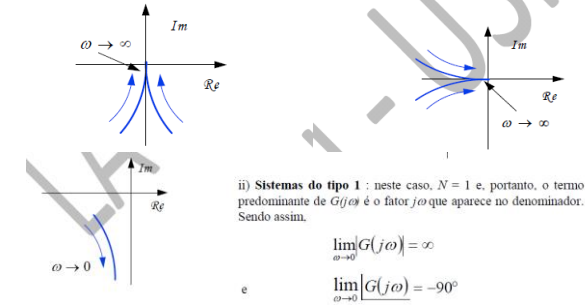
$$G(j\omega) = \frac{K_0 \cdot (1 + j \cdot \omega \tau_1) \cdot (1 + j \cdot \omega \tau_2) \cdot \dots \cdot (1 + j \cdot \omega \tau_m)}{(j\omega)^N \cdot (1 + j \cdot \omega T_1) \cdot (1 + j \cdot \omega T_2) \cdot \dots \cdot (1 + j \cdot \omega T_p)}$$

Sejam  $n = N + p$  e  $m$ , respectivamente, os graus dos polinômios do denominador e do numerador. Vamos supor, como é usual, que  $n \geq m$ .

Analise o comportamento de  $G(j\omega)$  quando  $\omega \rightarrow +\infty$ . Há dois casos a considerar:

se  $n - m = 1$ , então  $|G(j\omega)| \cong -90^\circ$  e a aproximação da origem tem uma das formas abaixo:

se  $n - m = 2$ , então  $|G(j\omega)| \cong -180^\circ$  e a aproximação da origem se dá como representado no gráfico.



ii) **Sistemas do tipo 1** : neste caso,  $N = 1$  e, portanto, o termo predominante de  $G(j\omega)$  é o fator  $j\omega$  que aparece no denominador. Sendo assim,

$$\lim_{\omega \rightarrow 0} |G(j\omega)| = \infty$$

$$\lim_{\omega \rightarrow 0} \angle G(j\omega) = -90^\circ$$

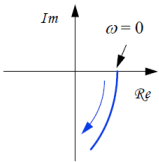
i) **Sistemas do tipo 0** : neste caso,  $N = 0$  e, portanto,

$$G(j0) = K_0$$

o que significa que o ponto inicial do Diagrama de Nyquist se localiza sobre o eixo real positivo. Pode-se mostrar, também, que a tangente ao Diagrama em  $\omega = 0$  é perpendicular ao eixo real.

i)  $n = m$   $G(j\infty) = \frac{K_0 \cdot \tau_1 \cdot \tau_2 \cdot \dots \cdot \tau_m}{T_1 \cdot T_2 \cdot \dots \cdot T_p}$   
Diagrama termina no eixo real para  $\omega \rightarrow \infty$

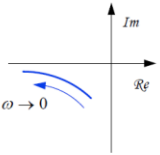
ii)  $n > m$   $G(j\infty) = 0$   
Diagrama termina na origem para  $\omega \rightarrow \infty$



iii) **Sistemas do tipo 2** : neste caso,  $N = 2$  e, de maneira semelhante ao caso anterior, o termo predominante de  $G(j\omega)$  é o fator  $(j\omega)^2$  que aparece no denominador. Dessa forma,

$$\lim_{\omega \rightarrow 0} |G(j\omega)| = \infty \quad \text{e} \quad \lim_{\omega \rightarrow 0} \angle G(j\omega) = -180^\circ$$

e, portanto, em baixas frequências, o Diagrama de Nyquist é assintótico a uma reta paralela ao eixo real negativo (eventualmente, o próprio eixo).

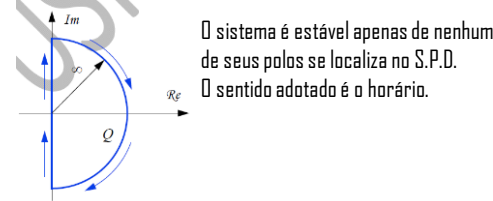


Critério de Nyquist

O Critério de Nyquist é um resultado teórico que permite estudar a estabilidade de um sistema em **malha fechada graficamente** com base na inspeção do diagrama polar da resposta em frequência (diagrama de Nyquist) de **malha aberta**, sem a necessidade de determinar os polos do sistema em malha fechada.

$$N = Z - P$$
  $N$ : número de envoltimentos no sentido horário

ii) o contorno fechado Q percorrido por s no plano s



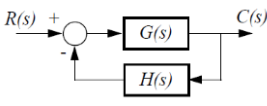
O sistema é estável apenas se nenhum de seus polos se localiza no S.P.D.  
O sentido adotado é o horário.

iii) os números de polos (P) e de zeros (Z) de f(s) no interior desse contorno Q no plano s

$$G(s)H(s) = \frac{N(s)}{D(s)} \quad f(s) = \frac{D(s) + N(s)}{D(s)} \quad Z = 0, \Rightarrow N = -P$$

Notase, portanto, que os polos de  $f(s)$  são os polos de malha aberta de  $G(s)H(s)$ ; por sua vez, os zeros de  $f(s)$  são os polos de malha fechada do sistema. Considerando então os polos e zeros de  $f(s)$  no interior do contorno Q, temos que **P é o número de polos instáveis de malha aberta e Z é o número de polos instáveis de malha fechada.**

i) a função f(s)



A estabilidade da malha fechada requer  
Que todas as raízes da equação característica  
Estejam no S.P.E

$$\frac{C(s)}{R(s)} = \frac{G(s)}{1 + G(s) \cdot H(s)}$$
  
$$f(s) = 1 + G(s) \cdot H(s) = 0$$

iv) a imagem de f(s) no plano f(s) quando s percorre o contorno Q no plano s

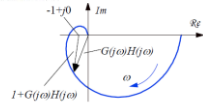
Em resumo, para se obter o gráfico da imagem de  $f(s)$  quando  $s$  percorre o contorno Q, basta desenhar o gráfico polar da resposta em frequência de  $1 + G(s)H(s)$  e completar a figura desenhando seu simétrico em relação ao eixo real.

Muito provavelmente, você não terá que desenhar o gráfico na prova

v) o número de voltas (N) da imagem de f(s) em torno da origem do plano f(s)

Construído o gráfico da imagem de  $f(s)$  conforme o item iv), este passo é trivial: basta contar o número de envoltimentos (N) desse gráfico em torno da origem do plano  $f(s)$  no sentido horário.

Devemos ter em mente que, para aplicarmos o Teorema do Mapeamento na investigação da estabilidade, é necessário que o **Contorno de Nyquist não passe sobre polos ou zeros de malha aberta do sistema**. Dessa maneira, até este ponto está excluído de nossa discussão o caso em que o sistema em malha aberta tem polos ou zeros sobre o eixo imaginário.



Portanto, o envolvimento da origem pelo Diagrama de Nyquist de  $1 + G(j\omega) \cdot H(j\omega)$  é equivalente ao envolvimento do ponto  $-1 + j \cdot 0$  pelo lugar geométrico de  $G(j\omega) \cdot H(j\omega)$ .

Sistemas de Fase Mínima

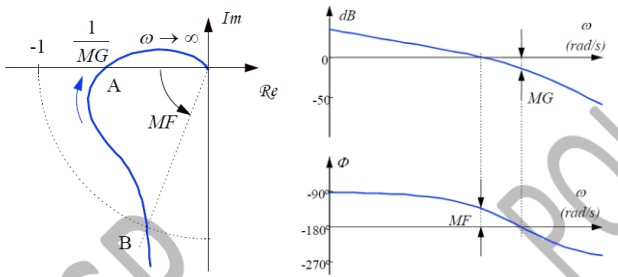
Diz-se que um sistema dado por sua função de transferência  $G(s)$  é de **fase mínima** quando todos os seus polos e zeros se localizam no semi-plano complexo esquerdo. Quando há pelo menos um polo ou zero no semi-plano direito, diz-se que o sistema é de **fase não mínima**.

$$G_1(s) = \frac{1 + 0.1s}{1 + s}$$
 **Fase mínima**

$$G_2(s) = \frac{1 - 0.1s}{1 + s}$$
 **Fase não mínima**

Margens de estabilidade

Para um grande número de sistemas de controle, dois parâmetros são úteis para medir a distância do Diagrama de Nyquist ao ponto  $-1 + j0$ . Esses parâmetros são a **margem de ganho (MG)** e a **margem de fase (MF)** e constituem o que se costuma denominar margens de estabilidade de um sistema de controle.



A **margem de ganho** é uma medida de quanto o ganho pode ser aumentado antes de causar instabilidade do sistema.

A **margem de fase**, por sua vez, é uma medida de quanto de defasagem pura o sistema tolera antes de se tornar instável.

É igualmente simples determinar MG e MF nos Diagramas de Bode. O valor de MG pode ser obtido do gráfico de ganho na frequência em que a defasagem é igual a  $-180^\circ$ . O valor de MF, por sua vez, pode ser lido diretamente do gráfico de defasagem na frequência em que o ganho é  $0 \text{ dB}$ . A figura ao lado ilustra estes fatos.

Uma vez que as margens de estabilidade representam uma medida da proximidade do Diagrama de Nyquist com relação ao ponto  $-1 + j0$ , elas dão uma indicação da robustez do sistema face a incertezas do modelo matemático utilizado para o projeto (por isso, essas margens podem ser adotadas como critérios de projeto). Essa é a razão da importância e da popularidade dos conceitos de margens de ganho e de fase.

É prática usual considerar satisfatórias as margens de ganho superiores a  $6 \text{ dB}$  (o que corresponde a ganhos maiores que 2) e as margens de fase entre  $30^\circ$  e  $60^\circ$ .

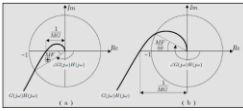


Figura 5.32 (a) Sistema em malha fechada estável. (b) Sistema em malha fechada instável.

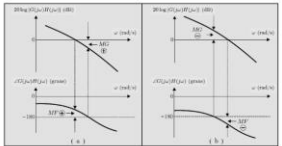
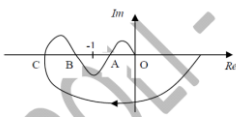


Figura 5.33 (a) Sistema em malha fechada estável. (b) Sistema em malha fechada instável.

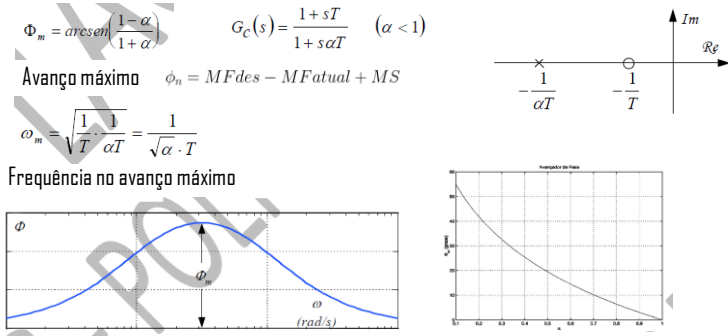
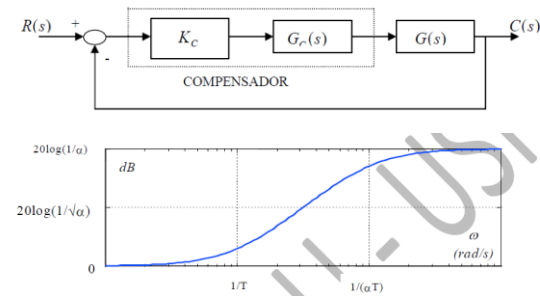
Sistemas condicionalmente estáveis



Supondo que  $G(s)H(s)$  seja estável ( $P = 0$ ), o Critério de Nyquist permite concluir que, em malha fechada, o sistema também é estável, uma vez que  $N = 0$ . Aumentando o ganho de maneira que o ponto  $-1 + j0$  pertença ao segmento AO, resulta  $N = +2$  (Verifique isto como lição de casa!) e, portanto, o sistema em malha fechada passa a ser instável. O mesmo acontece quando se reduz o ganho de forma que o ponto  $-1 + j0$  pertença ao segmento CB. Sistemas deste tipo, em que a malha fechada é estável apenas para valores de ganho pertencentes a um determinado intervalo, são denominados **condicionalmente estáveis**.

Compensação

Compensação por avanço de fase



**Compensação por avanço de fase por meio do LGR**

i. com base nas especificações de resposta transitória, determine as localizações dos polos dominantes em malha fechada;

ii. desenhe o L.G.R. e verifique se apenas um ajuste de ganho é suficiente para alocar os polos nas posições desejadas; caso contrário, calcule a deficiência de ângulo  $\Phi$  a ser suprida pelo compensador;

iii. determine as posições do polo e zero do compensador de maneira que este contribua com o ângulo  $\Phi$  requerido (e, eventualmente, exija o mínimo ganho adicional  $K_c$ );

iv. determine o ganho de malha aberta do sistema compensado por meio da condição de módulo do L.G.R.

Compensação por avanço de fase por meio da resposta em frequência

- i. determine o ganho  $K_c$  a fim de satisfazer as especificações referentes a erro estacionário;
- ii. usando esse valor de  $K_c$ , obtenha a margem de fase do sistema não compensado;
- iii. determine o ângulo de avanço de fase necessário  $\Phi_m$  a ser fornecido pelo compensador;
- iv. determine o fator de atenuação  $\alpha$  por meio da equação:

$\text{sen}(\Phi_m) = \frac{1-\alpha}{1+\alpha}$

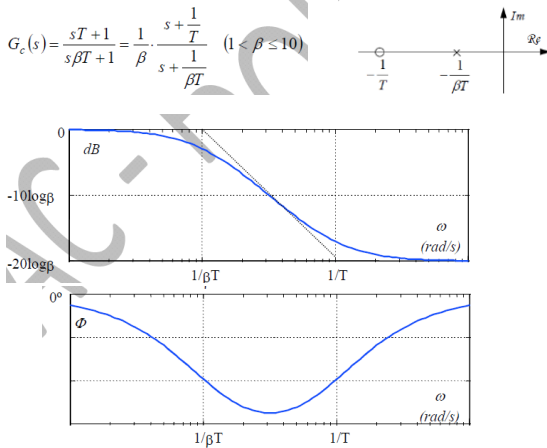
v. obtenha a frequência  $\omega_m$  onde o ganho do sistema não compensado vale  $-20\log(\sqrt{\alpha})$ . Esta deve ser a nova frequência onde o ganho é 0 dB;

vi. calcule  $T$  utilizando a equação:

$$\omega_m = \frac{1}{\sqrt{\alpha} \cdot T}$$

vii. determine as frequências de canto do compensador  $\frac{1}{T}$  e  $\frac{1}{\alpha T}$ .

Compensação por atraso de fase



Compensação por atraso de fase por meio do LGR

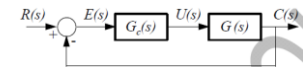
- i. desenhe o L.G.R. para o sistema não compensado e, com base nas especificações da resposta transitória, localize os polos dominantes de malha fechada sobre o L.G.R.;
- ii. determine o ganho utilizando a condição de módulo;
- iii. calcule o erro estacionário de interesse para o problema;
- iv. determine o fator de redução do erro necessário para satisfazer as especificações;
- v. escolha o polo e o zero do compensador de maneira a produzir a redução requerida no erro estacionário sem, contudo, alterar sensivelmente o L.G.R. nas vizinhanças dos polos dominantes;
- vi. desenhe o L.G.R. para o sistema compensado;
- vii. utilizando a condição de módulo, recalcule o ganho para que os polos dominantes de malha fechada se localizem nas posições desejadas.

Torcendo pra não cair

Compensação por atraso de fase por meio da resposta em frequência

- i. determine o ganho de forma a satisfazer a especificação referente a erro estacionário;
- ii. usando esse valor de ganho, trace os Diagramas de Bode do sistema não compensado e determine as margens de ganho e fase;
- iii. se a especificação relativa à margem de fase não estiver satisfeita, determine a frequência na qual a defasagem da função de transferência de malha é igual a  $-180^\circ + MF$ , onde  $MF$  é a margem de fase desejada acrescida de  $5^\circ$  a  $12^\circ$  (para neutralizar o atraso de fase introduzido pelo compensador). Escolha esta frequência como sendo aquela em que o ganho deverá valer 0 dB;
- iv. escolha a frequência de canto  $\omega = 1/T$  (correspondente ao zero do compensador) de uma oitava a uma década **abaixo** da frequência de cruzamento de 0 dB fixada no passo anterior;
- v. determine a atenuação necessária para fazer com que o ganho 0 dB corresponda à frequência fixada no passo (iv);
- vi. determine  $\beta$  considerando que a atenuação obtida no passo anterior é  $-20\log(\beta)$ ;
- vii. calcule a frequência de canto  $\omega = \frac{1}{\beta T}$  associada ao polo do compensador.

Compensadores PID



$$G_c(s) = K_p \cdot \left[ 1 + \frac{1}{s \cdot T_i} + s \cdot T_d \right]$$

$T_i$  é chamado tempo de "reset" e  $T_d$ , tempo derivativo ou "rate time".

Controlador proporcional:

$$G_c(s) = K_p$$

Controlador PD:

$$G_c(s) = K_p \cdot [1 + s \cdot T_d]$$

Controlador PI:

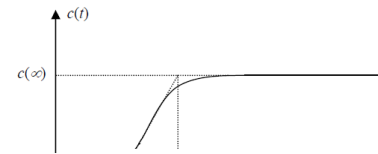
$$G_c(s) = K_p \cdot \left[ 1 + \frac{1}{s \cdot T_i} \right]$$

Controlador PID:

$$G_c(s) = K_p \cdot \left[ 1 + \frac{1}{s \cdot T_i} + s \cdot T_d \right]$$

Primeira Regra do Método de Ziegler-Nichols

Esta regra se aplica apenas no caso em que a resposta a degrau da planta em malha aberta tem o aspecto indicado na figura abaixo, típica de um sistema de primeira ordem com atraso.



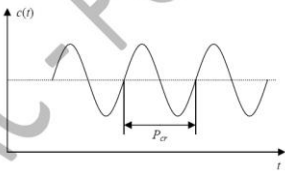
Tipo do Compensador	$K_p$	$T_i$	$T_d$
P	$T/L$	$\infty$	0
PI	$0.9T/L$	$L/0.3$	0
PID	$1.2T/L$	$2L$	$0.5L$

Para o compensador PID é imediato verificar que sua função de transferência resulta:

$$G_c(s) = 0.6T \cdot \frac{(s + 1/L)^2}{s}$$

Segunda Regra do Método de Ziegler-Nichols

Para aplicar esta regra, inicialmente, considera-se o sistema em malha fechada com um controlador proporcional (isto é,  $T_i = \infty$  e  $T_d = 0$ ). Suponhamos que, aumentando-se o ganho  $K_p$ , a saída resulte oscilatória e que, quando o ganho atinge um determinado valor, a saída exiba oscilações não amortecidas (se isto não ocorre, o método não se aplica!). Seja  $P_{cr}$  o período dessas oscilações e  $K_{cr}$ , o valor do ganho.



Tipo do Compensador	$K_p$	$T_i$	$T_d$
P	$0.5K_{cr}$	$\infty$	0
PI	$0.45K_{cr}$	$P_{cr}/1.2$	0
PID	$0.6K_{cr}$	$0.5P_{cr}$	$0.125P_{cr}$

Para o compensador PID, sua função de transferência resulta

$$G_c(s) = 0.075 K_{cr} P_{cr} \frac{(s + 4/P_{cr})^2}{s}$$